

ANÁLISE EXPERIMENTAL ALVENARIA ESTRUTURAL DE BLOCOS DE CONCRETO EM SITUAÇÃO DE INCÊNDIO

Palavras-Chave: [bloco de concreto], [alvenaria estrutural], [resistência ao fogo]

Autores/as:

Any Elizi Batista dos Santos [E. E. PROF. AMÉRICO BELLUOMINI]

Beatriz Lapa de Camargo [E. E. CULTO À CIÊNCIA]

Julia Marcondes Fico [E. E. PROCÓPIO FERREIRA]

Stephany Domingues Lima [E. E. FELIPE CANTÚSIO]

Engº Rafael Postigo Mazzali (mestrando)*

Profª Drª Carla Neves Costa (orientadora)*

***[Faculdade de Engenharia Civil, Arquitetura e Urbanismo da UNICAMP]**

INTRODUÇÃO:

A alvenaria estrutural é um tipo de estrutura de edificações onde a alvenaria apresenta a dupla função: vedação e estabilidade estrutural. O material é composto de blocos estruturais fixados entre si por argamassa (normalmente de cimento Portland). Ambos os materiais são diferentes, apresentando propriedades mecânicas e térmicas ligeiramente diferentes à temperatura ambiente. A capacidade resistente do conjunto bloco de concreto e argamassa depende: das resistências do bloco, da argamassa e da adesão bloco-argamassa. Os modos de falha da alvenaria estrutural são três: rupturas do bloco ou da argamassa, ou ainda, por descolamento entre os blocos e a argamassa. Nos projetos para a situação normal de uso, os materiais são selecionados cuidadosamente para apresentarem resistências mecânicas com valores próximos. Em altas temperaturas, a heterogeneidade dos materiais é destacada. Acima dos 100 °C, os materiais estruturais perdem resistência mecânica podendo levar desabamento de edifícios (COSTA et al., 2002).

Neste trabalho é apresentada uma pesquisa aplicada, que busca solucionar um problema de resistência ao fogo de edificações: medir a resistência mecânica de argamassa de assentamento de blocos de concreto de alvenaria estrutural em altas temperaturas para “mapear” os níveis de resistência à adesão aos blocos para temperaturas $\theta \geq 100$ °C. São apresentados os procedimentos e os resultados de uma etapa prévia à análise experimental, para guiar a preparação de corpos de prova de alvenaria estrutural que serão aquecidos em um forno para medir a resistência a fogo. Foi selecionado o bloco vazado de dois furos da “família 29” (**Figura 1**), considerado o bloco-padrão de uma parede de alvenaria, usando em todo o vão sem interferências. Os blocos de um ou três furos são usados nas amarrações tipos “T” e cruz dos encontros de paredes que são locais de menor incidência do fluxo de calor em uma situação de incêndio (**Figura 2**). Após o aquecimento, os corpos de prova serão carregados até a ruptura, para medir carga de ruptura; os resultados apurados permitirão “mapear” a redução da resistência de adesão da argamassa em função da temperatura, para uso no projeto de alvenaria estrutural em situação de um incêndio.

A pesquisa está em desenvolvimento no Laboratório de Estruturas da Faculdade de Engenharia Civil, Arquitetura e Urbanismo da UNICAMP.



Figura 1 – Tipos padronizados ou “Famílias” de blocos de concreto. **Fonte:** Désir (s. d.).

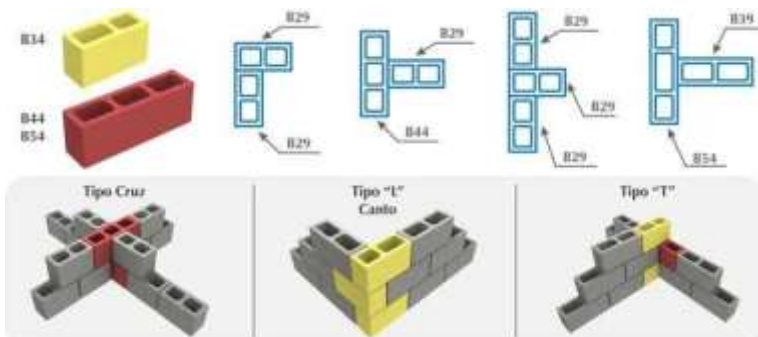


Figura 2 – Bloco vazado de concreto simples. **Fonte:** Goiarte (2016).

OBJETIVOS:

- Investigar o fenômeno de transferência de calor por condução em um elemento de parede de alvenaria estrutural, usando-se as hipóteses de um caso clássico da Física Térmica.
- Verificar a precisão dos resultados de cálculos “manuais” e de análise numérica computacional usada quando se adota a formulação geral que descreve o problema.
- Identificar lacunas de informações a serem investigadas em ensaio experimental.

JUSTIFICATIVA:

Cálculos simplificados com base nas leis da Física, são indicados em normas técnicas para avaliação do conforto térmico de edificações (ABNT NBR 15220-2:2005). Nas pesquisas experimentais, as análises teóricas simulação computacional são usadas para o planejamento dos ensaios afim de evitar perdas de informações e danos a equipamentos. Uma análise preliminar auxilia as etapas de instrumentação dos corpos de prova e de execução dos ensaios.

METODOLOGIA:

Análise teórica numérica comparativa entre os cálculos simplificados “manuais” e cálculos avançados com auxílio computacional para análise numérica. As hipóteses de cálculo adotadas são as mesmas hipóteses do caso particular da transferência de calor unidimensional por condução (INCROPERA *et al.*, 2014; ÇENGEL & GHAJAR, 2012): fluxo de calor uniformemente distribuído sobre a superfície de uma unidade de alvenaria; fluxo de calor unidirecional, incidindo perpendicular à superfície da unidade de alvenaria; condução de calor descrita pela equação de Fourier; sistema conservativo¹; regime térmico estacionário; propriedades térmicas constantes.

Pela lei de Fourier, o fluxo de calor por condução é uma energia térmica perpendicular à área da superfície aquecida e atravessa a parede de espessura $\Delta\ell$ (eq. 1). Para as hipóteses adotadas, a equação permite uma analogia entre o fluxo de calor e a corrente elétrica, onde a resistência térmica é similar ao de resistência elétrica. A aplicação do conceito de resistência térmica (eq. 2) é explorada nos estudos introdutórios de Física no Ensino Médio (MATIAS & FRATTEZI, 2010; SILVA & BARRETO FILHO, 2015; FERRARO *et al.*, 2019), e tem aplicação na Engenharia Civil para avaliar o desempenho térmico de elementos de edificações onde a variação térmica decorre do aquecimento solar e das variações climáticas (ABNT NBR 15220-2:2005).

$$q_x = - \frac{\lambda \cdot \text{Área} \cdot \Delta\theta}{\Delta\ell} \quad (1)$$

onde: q_x = fluxo de calor por condução na direção “x” [W];

λ = condutividade térmica do material [W/(m*K)];

Área = área da superfície perpendicular à ação do fluxo de calor por condução [m²];

$\Delta\theta = (\theta_{hot} - \theta_0)$ [°C; K];

$\Delta\ell$ = espessura da parede ou das camadas da parede [m].

$$R_t = \frac{\Delta\ell}{\lambda \cdot \text{Área}} \quad (2)$$

onde: R_t = resistência térmica da parede ou da camada da parede [K/W].

¹ Onde não há variação de energia térmica na condução de calor dentro da alvenaria.

MATERIAIS:

Os materiais usados são: concreto para bloco estrutural, argamassa de cimento Portland para o assentamento dos blocos e ar que preenche furos dos blocos considerados duas câmaras internas. O bloco estrutural vazado da “família 29” (**Figura 1**), com dois furos, altura = 0,19 m x largura = 0,14 m x comprimento = 0,29 m, espessura das paredes externas e interna = 25 mm (**Figura 3**). A argamassa de assentamento possui espessura = 10 mm assumindo-se o valor médio dentro da tolerância indicada na ABNT NBR 16868-2:2020. As propriedades térmicas dos materiais estão apresentadas na **Tabela 1**. Por simplicidade do modelo, o ar foi considerado um material sólido equivalente com condutividade constante para $\theta \geq 100^{\circ}\text{C}$.

Tabela 1 – Propriedades térmicas dos materiais da unidade estrutural de bloco.

Materiais	Condutividade térmica $\lambda [\text{W}/(\text{m}^*\text{K})]$	Fontes
concreto	1,6	EN 1994-1-2:2005
ar	0,5294*	ABNT NBR 15220-2:2005
argamassa	1,15	ABNT NBR 15220-2:2005

Notas: * Calculado com base no valor da resistência térmica de câmaras de ar (furos de blocos vazados) sujeitos ao fluxo de calor horizontal perpendicular à face externa da parede (Tabela B.1 do Anexo B da ABNT NBR 15220-2:2005, p. 11).

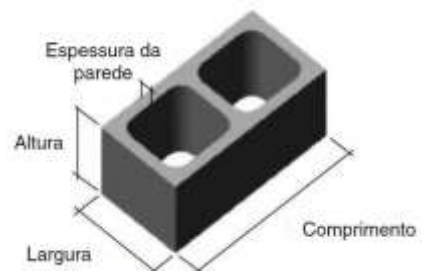


Figura 3 – Bloco vazado de concreto simples. Fonte: ABNT NBR 6136:2016

EQUIPAMENTOS:

- Hardware:** Computador *laptop* com processador Core™ i5 7400, memória RAM 8 GBytes, HD 1 TBytes, placa de vídeo 4 GBytes, monitor LCD LED e resolução de 1366 x 768; mouse óptico.
- Software:** sistema operacional *Microsoft® Windows®* v. 10, aplicativos básicos do *Microsoft® Office 365®* (*Word®*, *Excel®* e *Power Point®*), navegador de *internet Google Chrome Versão 92.0.4515.159* (Versão oficial) 64 bits); LISA Finite Element Analysis v. 8.0.0 (versão demo)².

PROCEDIMENTOS:

A **Figura 4** apresenta as etapas dos procedimentos. Para a análise unidimensional teórica, foram considerados três modelos de cálculo da resistência térmica equivalente (**Figura 5; Tabela 2; Tabela 3; Tabela 4**), desprezando-se a existência de uma resistência térmica de contato entre as camadas de concreto e de argamassa. Para a análise a bidimensional (2D) do fluxo de calor, foi usado software LISA v. 8.0.0 para o cálculo numérico usando-se o método dos elementos finitos.

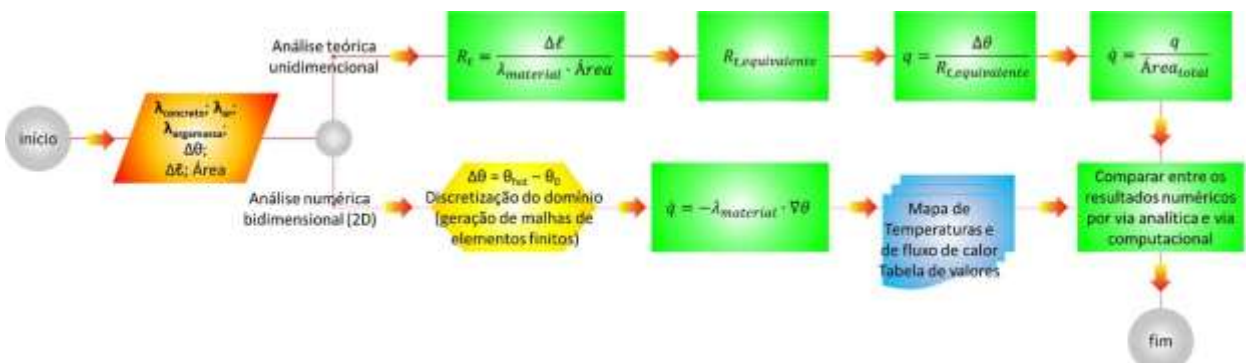


Figura 4 – Procedimentos de investigação teórica e numérica. Fonte: Autoral

Tabela 2 – Cálculos de resistência equivalente do modelo ①.

Espessura das camadas [m]	$\lambda [\text{W}/(\text{m}^*\text{K})]$	Cálculo da área superficial			resistências $R_t [\text{K}/\text{W}]$
		base [m]	altura [m]	Área da superfície [m ²]	
$\Delta\ell_{\text{faixa bloco}} =$	0,09	1,6	0,025	0,19	11,84211
$\Delta\ell_{\text{furo (ar)}} =$	0,09	0,529	0,1075	0,19	8,32313
$\Delta\ell_{\text{parede bloco}} =$	0,025	1,6	0,1075	0,19	0,76499
$\Delta\ell_{\text{faixa argamassa}} =$	0,09	1,15	0,01	0,19	41,18993

² Tutorial and reference guide. LISA Finite Element Analysis. Sonnenhof Holdings: Ontário, 2013. 125 p.

$\Delta\ell_{\text{espressura argamasas}} =$	0,025	1,15	0,01	0,19	0,0019	11,44165
				$R_{t,\text{eq},\text{paralelo}1}^{(1)} =$	1,93086	[m ² K/W]
				$R_{t,\text{eq},\text{paralelo}2}^{(2)} =$	0,701705	[m ² K/W]

Notas: (1) $\frac{1}{R_{t,\text{eq},\text{paralelo}1}} = \frac{3}{R_{t,\text{faixa bloco}}} + \frac{2}{R_{t,\text{furo}}} + \frac{1}{R_{t,\text{faixa argamassa}}}$;
 (2) $\frac{1}{R_{t,\text{eq},\text{paralelo}2}} = \frac{1}{R_{t,\text{parede bloco}}} + \frac{1}{R_{t,\text{espressura argamassa}}}$
 (3) $R_{t,\text{eq},\text{série}} = R_{t,\text{eq},\text{paralelo}1} + 2 \cdot R_{t,\text{eq},\text{paralelo}2}$

Tabela 3 – Cálculos de resistência equivalente do modelo alternativo ②.

Espessura das camadas [m]	λ [W/(m ² K)]	Cálculo da área superficial			resistências R_t [K/W]
		base [m]	altura [m]	Area da superfície [m ²]	
$\Delta\ell_{\text{faixa bloco}} =$	0,09	1,6	0,025	0,19	0,00475
$\Delta\ell_{\text{furo (ar)}} =$	0,09	0,529	0,1075	0,19	0,020425
$\Delta\ell_{\text{parede bloco}} =$	0,025	1,6	0,1075	0,19	0,020425
$\Delta\ell_{\text{faixa argamassa}} =$	0,14	1,15	0,01	0,19	0,0019
				$R_{t,\text{eq},\text{paralelo}1}^{(1)} =$	2,02582 [m ² K/W]
				$R_{t,\text{eq},\text{série}}^{(2)} =$	3,55581 [m ² K/W]
				$R_{t,\text{eq},\text{paralelo}2}^{(3)} =$	3,36885 [m ² K/W]

Notas: (1) $\frac{1}{R_{t,\text{eq},\text{paralelo}1}} = \frac{3}{R_{t,\text{faixa bloco}}} + \frac{2}{R_{t,\text{furo}}}$
 (2) $R_{t,\text{eq},\text{série}} = R_{t,\text{eq},\text{paralelo}1} + 2 \cdot R_{t,\text{parede bloco}}$
 (3) $\frac{1}{R_{t,\text{eq},\text{paralelo}2}} = \frac{1}{R_{t,\text{eq},\text{paralelo}1}} + \frac{1}{R_{t,\text{faixa argamassa}}}$

Tabela 4 – Cálculos de resistência equivalente do modelo ③.

Espessura das camadas [m]	λ [W/(m ² K)]	Cálculo da área superficial			R_t [K/W]
		base [m]	altura [m]	Area da superfície [m ²]	
$\Delta\ell_{\text{faixa bloco}} =$	0,14	1,6	0,025	0,19	0,00475
$\Delta\ell_{\text{furo (ar)}} =$	0,09	0,529	0,1075	0,19	0,020425
$\Delta\ell_{\text{parede bloco}} =$	0,025	0,529	0,1075	0,19	0,020425
$\Delta\ell_{\text{argamassa}} =$	0,14	1,15	0,01	0,19	0,0019
				$R_{t,\text{eq},\text{série}}^{(1)} =$	12,9507 [m ² K/W]
				$R_{t,\text{eq},\text{paralelo}}^{(2)} =$	3,00394 [m ² K/W]

Notas: (1) $R_{t,\text{eq},\text{série}} = 2 \cdot R_{t,\text{parede}} + R_{t,\text{furo}}$;
 (2) $\frac{1}{R_{t,\text{eq},\text{paralelo}}} = \frac{2}{R_{t,\text{eq},\text{série}}} + \frac{3}{R_{t,\text{faixa bloco}}} + \frac{1}{R_{t,\text{argamassa}}}$

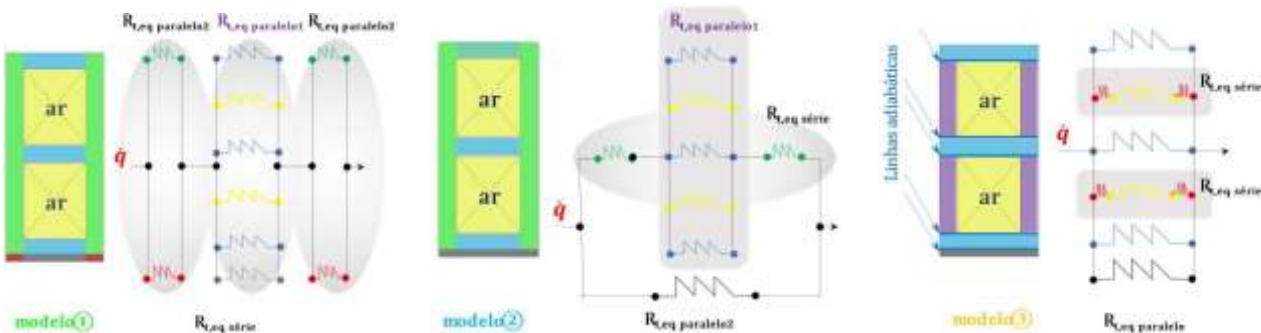


Figura 5 – Modelos de cálculo da resistência térmica equivalente. Fonte: Autoral.

RESULTADOS E DISCUSSÃO:

A análise teórica apresentou resultados diferentes do fluxo de calor devido ao modelo de “circuito térmico” usado no cálculo da resistência térmica equivalente (Tabela 5). Há diferenças de resultados superiores a 5%, significando imprecisões que afetam a confiabilidade do modelo adotado nas soluções de Engenharia. A análise 2D numérica computacional mostrou que o gradiente térmico não é constante. Há vórtices localizados, indicando que o fluxo de calor não é unidirecional na seção composta “bloco-argamassa” (Figura 6). Nas regiões dos cantos dos furos há mudanças “caóticas” do sentido do fluxo de calor. O campo de temperaturas não é isotérmico. Na linha de adesão entre o bloco e a argamassa, o degradê significa mudanças da temperatura e do fluxo de calor. É necessário um estudo da influência da resistência térmica de contato entre materiais diferentes para a modelagem computacional. No software foi gerada uma malha de elementos finitos com base em um estudo expedito de refinamento; mas, são necessários estudos de outros tipos de malhas para a precisão de resultados. Para os materiais, adotou-se propriedades térmicas constantes, mas elas variam para temperaturas $\theta > 100^\circ\text{C}$. Uma análise experimental é necessária para checagem.

Tabela 5 – Fluxo de calor por condução para cada modelo de resistência térmica em função das variações térmicas $\Delta\theta$ (°C).

$\Delta\theta = \theta_{hot} - \theta_0$ $\theta_0 = 20^\circ C$	fluxo de calor condução Q [W]			fluxo de calor condução \dot{q} [W/m ²]*			Variação dos resultados entre modelos	
	$K_{t,eq}$ [K/W]			$K_{t,eq}$ [m ² K/W]				
	modelo (1)	modelo (2)	modelo (3)	modelo (1)	modelo (2)	modelo (3)		
θ_{hot} (°C)	3,365	3,369	3,004	0,192	0,192	0,171	$m(2)/m(1)$	
20	0	0,00	0,00	0,00	0,00	0,00	0,12%	
200	180	53,49	53,43	59,92	938,46	937,38	1051,25	
400	380	112,93	112,80	126,50	1981,20	1978,92	2219,31	
600	580	172,36	172,17	193,08	3023,94	3020,45	3387,36	
800	780	231,80	231,53	259,66	4066,68	4061,98	4555,42	

Notas: * Fluxo de calor por unidade de área calculado usando a área da face vertical do conjunto bloco + argamassa, Área = b × h = 0,30 × 0,19 = 0,057 m².

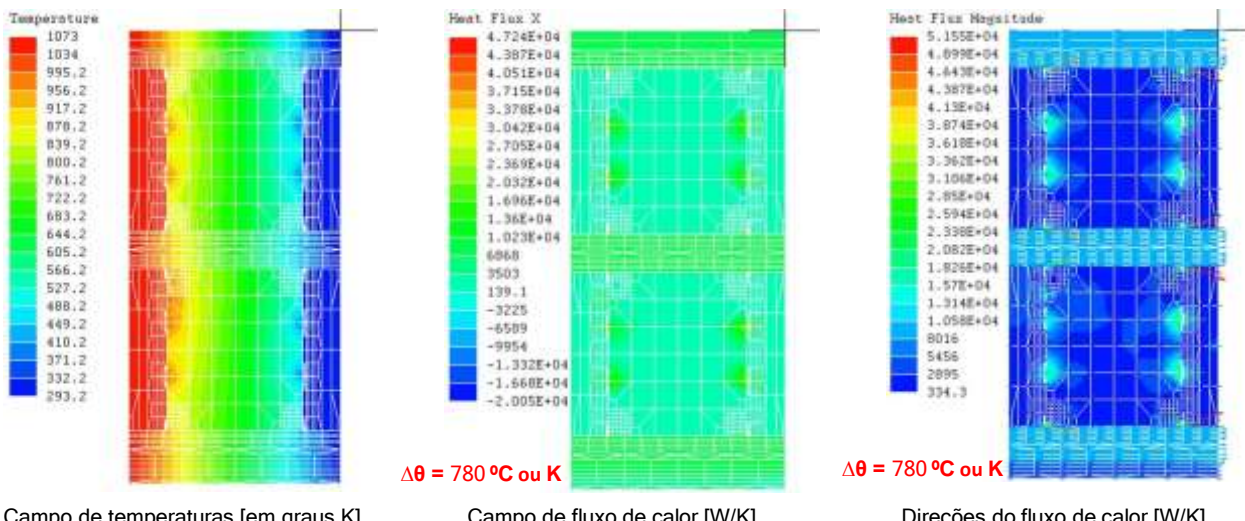


Figura 6 – Saída gráfica de resultados da modelagem numérica do software LISA v.8.0.0. Fonte: Autoral

CONCLUSÕES:

Uma análise de condução de calor em um bloco de concreto permitiu comparar os resultados de um modelo teórico unidirecional aos de um modelo numérico bidimensional. A variação do fluxo de calor é significativa quando o material é uma composição de elementos com propriedades térmicas muito diferentes. Para o regime estacionário com pequena variação térmica, a estimativa da resistência térmica equivalente não é trivial. Uma análise experimental é necessária para avaliar a resistência térmica de alvenarias de blocos vazados.

REFERÊNCIAS BIBLIOGRÁFICAS

- ASSOCIAÇÃO BRASILEIRA DE NORMAS TÉCNICAS (ABNT). **NBR 15220-2:** Desempenho térmico de edificações Parte 2: Método de cálculo da transmitância térmica, da capacidade térmica, do atraso térmico e do fator solar de elementos e componentes de edificações. Rio de Janeiro, 2008. 34 p. [Versão corrigida que incorpora a Errata 1 de 09.06.2008]
- ASSOCIAÇÃO BRASILEIRA DE NORMAS TÉCNICAS (ABNT). **NBR 16868-2:** Alvenaria estrutural Parte 2: Execução e controle de obras. Rio de Janeiro, 2020. 23 p.
- ASSOCIAÇÃO BRASILEIRA DE NORMAS TÉCNICAS (ABNT). **NBR 6136:** Blocos vazados de concreto simples para alvenaria – Requisitos. Rio de Janeiro, 2016. 10 p. [Versão corrigida que incorpora a Errata 1, de 01.12.2016] Blocos. Goiarte, Aparecida de Goiânia, GO, 2016. Produtos, online. Disponível em: http://www.goiarte.com.br/?page_id=75096. Acesso em: 30 ago. 2021.
- ÇENGEL, Y. A.; GHAJAR, A. J. **Transferência de Calor e Massa:** Uma Abordagem Prática. 4^a Ed. Porto Alegre: AMGH, 2012. 928 p.
- COMITÉ EUROPÉEN DE NORMALISATION. **EN 1994-1-2:** Eurocode 4 - Design of composite steel and concrete structures - Part 1-2: General rules - Structural fire design. Brussels, 2005. 109 p.
- COSTA, C. N.; FIGUEIREDO, A. D.; SILVA, V. P. Aspectos tecnológicos dos materiais. In: NUTAU'2002 - Sustentabilidade arquitetura desenho urbano: Seminário internacional. Anais... São Paulo: NUTAU/FUPAM/FAUUSP, 2002. (1 CD-ROM)
- DÉSIR, J. M. Blocos e Tijolos de Concreto. Alvenaria Estrutural, Porto Alegre, online, [s. d.]. Disponível em: <https://bit.ly/2V8n2eQ>. Acesso em: 30 ago. 2021.
- FERRARO, N. G.; SOARES, P. T.; FOGO, R. **Física Básica.** 4^a Ed. São Paulo: Saraiva Didáticos, 2019. p. 704.
- INCROPERA, F. P.; DEWITT, D. P.; BERGMAN, T. L.; LAVINE, A. S. **Fundamentos de transferência de calor e de massa.** 7^a Ed. São Paulo: LTC, 2014. 694 p.
- MATIAS, R. FRATTEZZI, A. **Física Geral Para o Ensino Médio.** São Paulo: Harbra, 2010. 832 p.
- SILVA, C. X.; BARRETO FILHO, B. **360° Física.** Aula por Aula: partes 1, 2, 3. Vol. Único. 3^a Ed. São Paulo: FTD Educação.